

## بررسی تأثیر نانوذره های $Fe_3O_4$ پوشش داده شده با کیتوزان بر پارامترهای خونی

### موش صحرایی

ماندانا صالحی<sup>۱\*</sup>، سهیل فتاحیان<sup>۲</sup>، کهین شاهانی پور<sup>۱</sup>، علیرضا درعلیزاده<sup>۳</sup>

۱- گروه زیست شناسی سلولی و مولکولی (بیوشیمی)، دانشگاه آزاد اسلامی واحد فلاورجان، اصفهان، ایران.

۲- گروه بیوفیزیک، دانشگاه آزاد اسلامی واحد فلاورجان، اصفهان، ایران.

۳- گروه برق الکترونیک، دانشگاه آزاد اسلامی واحد دزفول، خوزستان، ایران.

### چکیده

**سابقه و هدف:** نانو ذره های اکسید آهن به عنوان عنصر ایجادکننده تضاد در رزونانس مغناطیسی هسته ای (MRI) هستند. در این تحقیق با استفاده از پوشش کیتوزان میزان سمیت نانوذره های اکسید آهن بر فاکتورهای خونی بررسی شده است.

**مواد و روش ها:** تعداد ۶۰ سر موش صحرایی ماده بالغ از نژاد ویستار به ۱۰ گروه ۶ تایی تقسیم گردیدند. ۳ گروه از موش ها غلظت های ۵۰، ۱۰۰ و ۱۵۰ میلی گرم بر کیلوگرم وزن موش از نانو ذره های اکسید آهن با پوشش کیتوزان به صورت درون صفاقی دریافت کردند و پارامترهای خونی (WBC، RBC، PLT و MCV) اندازه گیری شدند.

**یافته ها:** نتایج به دست آمده توسط نرم افزار SPSS ۲۰ (One way ANOVA) مورد تجزیه و تحلیل قرار گرفت و حاکی از آن بود که تزریق نانو ذره های اکسید آهن با پوشش کیتوزان میانگین تعداد سلول های خونی (WBC و RBC) در گروه های تیمار شده با غلظت بالاتر از  $50 \frac{mg}{kg}$  نسبت به گروه کنترل را به طور معناداری کاهش داده است. در طول مدت آزمایش مرگ و میری در حیوان ها مشاهده نشد.

**نتیجه گیری:** با توجه به نتایج به دست آمده می توان نتیجه گرفت که کاربرد کوتاه مدت نانو ذره های اکسید آهن با پوشش کیتوزان در موارد پزشکی و بیولوژیک به احتمال سمیت خاصی در بدن ایجاد نمی کند.

**کلمات کلیدی:** سمیت، کیتوزان، نانوذره ها، اکسید آهن، موش.

### مقدمه

در محدوده  $10^{-9}$  m است. این ذره ها به دلیل ابعاد کوچک دارای خواص فیزیکی، شیمیایی، مکانیکی، الکتریکی و مغناطیسی خاصی هستند، برای مثال به سادگی وارد سلول می شوند و در روند طبیعی و حیاتی آن مداخله می کنند (۱۱،۳). نانو ذره های اکسید آهن کاربرد زیست پزشکی گسترده ای نسبت به سایر نانو ذره های مغناطیسی دارند. نانو ذره های اکسید آهن در محیط آبی متراکم می گردند و برخلاف ماهیت هیدروفیلیک که دارند، به دلیل دارا بودن سطح ویژه بالا و سطوح بالای انرژی آزاد، نیازمند به استفاده از پایدار کننده هایی مانند سرفکتانت ها و ترکیب های پلی مری هیدروفیل به عنوان پوشش بر سطح خود هستند (۱۴). استفاده و کاربرد نانو فن آوری در شاخه های مختلف علوم از جمله پزشکی، داروسازی، تصویربرداری، محیط زیست و صنعت توجه و علاقه بسیاری از دانشمندان را به خود جلب کرده است. نانو ماده ها موادی هستند که در یک، دو و یا سه بعد حضور دارند. اما نانو

امروزه نانو تکنولوژی در حوزه های سلامت، بهداشت، غذا، محیط، کشاورزی، نظامی، پزشکی و داروسازی استفاده می شود. لذا جای تعجب نیست که بسیاری از محصولات مهندسی شده نانوذره ها در حال حاضر در دسترس مصرف کنندگان قرار دارند (۲۵).

ذره های نانو به ذره هایی گفته می شود که میانگین ابعاد آن ها

### نویسنده مسئول:

گروه زیست شناسی سلولی و مولکولی (بیوشیمی)، دانشگاه آزاد اسلامی واحد فلاورجان، اصفهان، ایران.

پست الکترونیکی: salehi.mandana1389@gmail.com

تاریخ دریافت: ۱۳۹۴/۸/۲۳

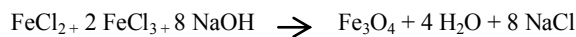
تاریخ پذیرش: ۱۳۹۴/۱۲/۱۷

پلاکت‌ها و حجم متوسط گلبول‌های قرمز در مدت ۳۰ روز پرداخته شود.

## روش کار

### روش سنتز و پوشش‌دهی نانو ذره‌های اکسید آهن

در این پژوهش نانو ذره‌های اکسید آهن به روش هم رسوبی تهیه شدند. در این روش از واکنش زیر استفاده می‌گردد:



با توجه به واکنش بالا، مقادیر ۱/۹۸ گرم از کلرید آهن ۲ ظرفیتی ( $\text{FeCl}_2 \cdot 4\text{H}_2\text{O}$ ) ۵/۴۱ گرم از کلرید آهن ۳ ظرفیتی ( $\text{FeCl}_3 \cdot 6\text{H}_2\text{O}$ ) و ۳/۲ گرم هیدروکسید سدیم برداشته و به دقت توزین شدند. سپس هر کدام به حجم ۱۰۰ میلی‌لیتر رسانده شدند. ابتدا محلول‌های کلرید آهن با یکدیگر مخلوط شدند و سپس محلول NaOH، یکباره به آن‌ها اضافه گردید و بلافاصله رسوب سیاه رنگی با ساختار نانو تشکیل شد. سپس محلول با آب مقطر چندین بار شست‌وشو داده شد تا نمک‌های اضافی آن خارج شوند. برای پوشش‌دهی ابتدا ۲۰ میلی‌گرم کیتوزان با وزن مولکولی بالا در محلول اسید استیک ۱ مولار حل کرده و به حجم نهایی ۱۰۰ میلی‌لیتر رسانده شد. سپس ۷۰ میلی‌گرم از نانو ذره‌های ( $\text{Fe}_3\text{O}_4$ ) به محلول قبلی افزوده شد. یک سوسپانسیون قهوه‌ای تیره رنگ حاصل شد (۶،۷،۱۴،۱۷).

### بررسی ویژگی‌های نانو ذره‌ها

نانو ذره‌های اکسید آهن پس از سنتز به روش هم‌رسوبی، خشک شدند. سپس گستره اندازه نانو ذره‌ها توسط میکروسکوپ الکترونی گذاره (TEM)<sup>۴</sup>، ویژگی‌های نانو ذره‌ها توسط اسپکتروسکوپی تبدیل فوریه مادون قرمز (FTIR)<sup>۵</sup> و ساختمان کریستالین  $\text{Fe}_3\text{O}_4$  توسط تفرق اشعه (XRD)<sup>۶</sup> بررسی گردید.

### پرورش و نگهداری حیوان‌ها

در طی این پژوهش تعداد ۶۰ عدد موش صحرایی ماده بالغ (Rats) با نام علمی (Ratus Norvegicus) از نژاد ویستار (Wistar) با وزن ابتدایی ۱۸۰ تا ۲۲۰ گرم استفاده گردید. این

ذره‌ها موادی کروی هستند که در هر سه بعد در اندازه نانومتری دیده می‌شوند. مشتق‌های نانو ذره‌های سوپر پارا مغناطیسی اکسید آهن با پوشش‌های متفاوت و متغیر در مکانیسم دارو رسانی مورد استفاده هستند (۹،۱۸). نانوذره‌های فلزی در حشره‌کش‌ها و باکتری‌کش‌ها نیز استفاده می‌شوند (۲۴). نانو ذره‌های اکسید آهن کاربرد زیست پزشکی گسترده-ای نسبت به سایر نانو ذره‌های مغناطیسی دارند. زیست سازگار بودن با شرایط محیط بدن، پایداری و تهیه آسان موجب توسعه استفاده آن‌ها شده است. به عنوان مثال  $\text{Fe}_3\text{O}_4$  و  $\text{Fe}_2\text{O}_3$  از این گروه نانو ذره‌ها هستند که در بیش‌تر کاربردهای دارویی و پزشکی با انواع بسپارها پوشش داده می‌شوند (۲۴). امروزه به منظور کاربرد مفید و مؤثر نانوذره‌های اکسید فلزی و برای کاهش اثرهای سمی در سیستم‌های بیولوژیک از پوشش استفاده می‌کنند، اما خود این پوشش‌های آلی و غیر آلی معایبی دارند که موجب بروز سمیت، آگلومریزاسیون، انحلال پذیری در غشاء سلول و ایجاد سمیت بیش‌تر می‌شوند و باید مطالعه و بررسی گردند. پوشش‌های مختلفی چون دکستران، پلی‌اتیلن‌گلیکول، پلی‌اتیلن‌اکسید و کیتوزان<sup>۳</sup> که حضور چنین پوشش‌هایی به پایداری نانو ذره‌ها در محلول‌های بیولوژیک، گردش خون، توزیع بافتی و ورود آن‌ها به سلول کمک می‌کند (۲۱،۱۳). امروزه از نانو ذره‌های اکسید آهن جهت نشانه گذاری سلول‌های بنیادی و ردیابی استفاده می‌شود (۱). کیتوزان یک پلی(۱→۴)- $\beta$ -۲-آمینو-۲-هیدروکسی - D گلوکز - استیل گلوکزآمین است، که یک پلی‌مر به حساب می‌آید و در اثر دآستیل‌اسیون کیتین حاصل می‌گردد. کیتین به طور طبیعی در اسکلت خارجی سخت پوستان و دیواره سلولی قارچ‌ها یافت می‌گردد که بعد از سلولز دومین پلی‌مر طبیعی فراوان است (۵،۱۶،۲۳). کیتوزان غیر سمی و زیست تخریب پذیر است و عمل کرد فوق العاده‌ای از لحاظ تشکیل فیلم دارد.

وزن مولکولی کیتوزان مورد استفاده تأثیر عمیقی روی ویژگی حرارتی، مکانیکی و نفوذپذیری فیلم نهایی دارد (۲). نانوذره‌های مغناطیسی اکسید آهن کاربرد فراوانی در موارد پزشکی و بیولوژیک دارند. از این نانو ذره‌ها می‌توان در دارورسانی هدفمند استفاده کرد. بر این اساس در این پژوهش در نظر است به بررسی اثر سمی نانو ذره‌های اکسید آهن بر پارامترهای خونی شامل تعداد گلبول‌های سفید و قرمز، تعداد

4-Transmission Electron Microscopy  
5-Fourier Transform Intra Red Spectroscopy  
6-X-Ray Diffraction

1-Magnetite  
2-Maghemite  
3-Chitosan

حیوانها از لانه حیوانهای آزمایشگاه تحقیقاتی دانشگاه فلاورجان خریداری شدند و کلیه قفسها پس از شست و شو با محلول ۵ درصد فنول ضد عفونی گردیدند. دمای اتاق حیوانها در حدود ۲۵ درجه سانتی گراد بود و در شرایط ۱۲ ساعت روشنایی و ۱۲ ساعت تاریکی نگهداری شدند. برای آزمایش- های *In vivo* حیوانها به ۱۰ گروه ۶ تایی تقسیم شدند. گروه ۱ به عنوان شاهد در نظر گرفته شد و سرم فیزیولوژیک دریافت کردند. ۳ گروه به عنوان تیمار به ترتیب دوزهای ۵۰، ۱۰۰ و ۱۵۰ از نانو ذره های اکسید آهن پوشش داده شده با کیتوزان را به صورت تزریق درون صفاقی دریافت کردند. ۳ گروه نانو ذره های اکسید آهن بدون پوشش و ۳ گروه کیتوزان را به عنوان کنترل دریافت می کردند. حیوانهای ۱۵ و ۳۰ روز پس از تیمار در دو نوبت، هر نوبت ۳ موش به صورت تصادفی جهت خون گیری مستقیم از قلب آماده شدند.

## نتایج

### ویژگی های نانوذره های سنتز شده

تصاویر میکروسکوپ الکترونی عبوری نمونه اکسید آهن در شکل (۱)، اندازه ذره های  $Fe_3O_4$  را ۵ الی ۷ نانومتر تخمین می زند. نتایج میکروسکوپ الکترونی در راستای نتایج به دست آمده از نمودار پراش پرتو ایکس در شکل های (۲) و (۳) می باشد. طبق نمودار پراش پرتو ایکس اندازه نانو ذره های پوشش داده شده ۱۲ نانومتر تخمین زده شد. با توجه به نتایج به دست آمده از منحنی های مربوط به FTIR، شکل (۴) حاصل از هر سه نمونه نانو ذره های اکسید آهن، نانو ذره های پوشش داده شده با کیتوزان و کیتوزان می توان نتیجه گرفت که خصوصیت های اصلی کیتوزان را در  $3430\text{ cm}^{-1}$  قطعه های O-H و N-H، در  $2924\text{ cm}^{-1}$  قطعه C-H، در  $1642\text{ cm}^{-1}$  قطعه C=O، در  $1148\text{ cm}^{-1}$  پل -O- و قطعه C-O در  $1079\text{ cm}^{-1}$  نشان می دهد. کربوکسی متیل کیتوزان حضور حداکثری را در  $1726\text{ cm}^{-1}$  نشان می دهد که بیانگر کشش نامتقارن C=O کربوکسیلات است، هم چنین سیگنال در  $1394\text{ cm}^{-1}$  را می توان به ارتعاش کششی متقارن کربوکسیلات C=O نسبت داد. از طرفی سیگنال  $577\text{ cm}^{-1}$  دارای حداکثر ویژگی اختصاصی گروه Fe-O در  $Fe_3O_4$  است. جذب حداکثری در  $1629\text{ cm}^{-1}$  و  $1397\text{ cm}^{-1}$  نشان داد که اتصال کیتوزان با  $Fe_3O_4$  رخ داده است. این دو حضور حداکثری مشخصه اتصال یون فلزی COOM است که اشاره به گروه های هیدروکسید سطحی نانو ذره های اکسید آهن دارد و تشکیل کربوکسیلات آهن می دهد (۲۰).

### اندازه گیری فاکتورهای خونی

عمل خون گیری با استفاده از روش خون گیری مستقیم از قلب صورت گرفت و رت ها با استفاده از کتامین گزیلین (۰/۷ میلی گرم به ازای هر گرم وزن بدن) بی هوش شده و عمل خون گیری بلافاصله از قلب به کمک سرنگ ۱۰cc صورت گرفت. خون رت ها گرفته و به مقدار ۲ تا ۳ میلی لیتر در ویال مخصوص جمع آوری نمونه ی CBC<sup>۷</sup> حاوی ماده ی ضد انعقاد ریخته شد. همان لحظه به مدت ۱۰ دقیقه توسط شیکر، خوب مخلوط شد تا از لخته شدن خون جلوگیری شود. تعداد گلبول های سفید و قرمز، تعداد پلاکت ها و  $MC^8$  نمونه ها توسط دستگاه سیسمکس (K1000) مورد بررسی قرار گرفت و نتایج ثبت شد.

### آنالیز آماری

در این پژوهش متناسب با سطح سنجش داده ها و فرض های آزمون های آماری از آزمون t دو نمونه ای مستقل استفاده شده است. در این بررسی از برنامه SPSS Version 20، استفاده گردید. هم چنین باید توجه داشت که سطح معناداری ۰/۰۵ در نظر گرفته شده و چنانچه هر یک از سطح معناداری آزمون ها از آن بزرگ تر باشند فرض صفر مرتبط معنادار می باشد در غیر این صورت فرض مقابل مرتبط با آن آزمون معنادار است.

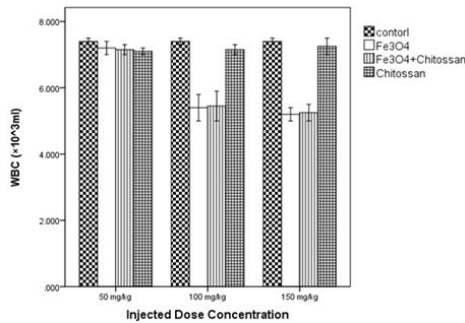
### آزمون t دونمونه مستقل:

<sup>7</sup>Complete Blood Count

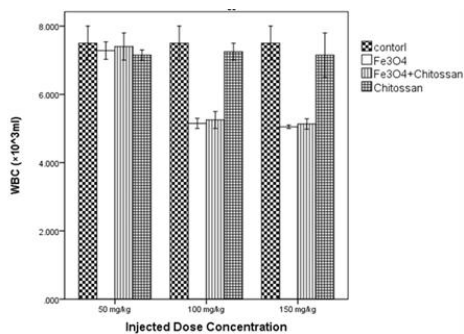
<sup>8</sup>Mean Corpuscular Volume

## بررسی فاکتورهای خونی

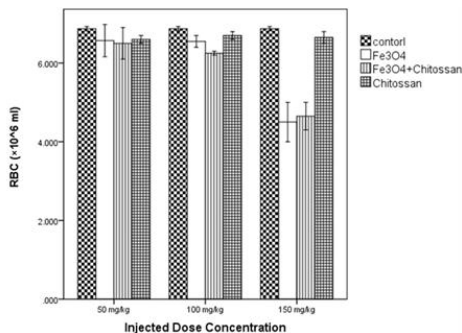
آنالیز فاکتورهای خونی به تفکیک دوز با توجه به نمودارهای ۱ و ۲، میانگین تعداد گلبول‌های سفید در غلظت‌های بالاتر از ۵۰ میلی‌گرم بر کیلوگرم به طور معنادار کاهش یافت. در نمودارهای ۳ و ۴ کاهش معنادار در غلظت گلبول‌های قرمز در غلظت‌های بالاتر از ۱۰۰ میلی‌گرم بر کیلوگرم قابل مشاهده است. تعداد سلول‌های خونی در دوزهای بالاتر از ۵۰ میلی‌گرم بر کیلوگرم نانو ذره‌های اکسید آهن بدون پوشش و با پوشش کیتوزان، کاهش معنی دار نسبت به گروه شاهد داشت.



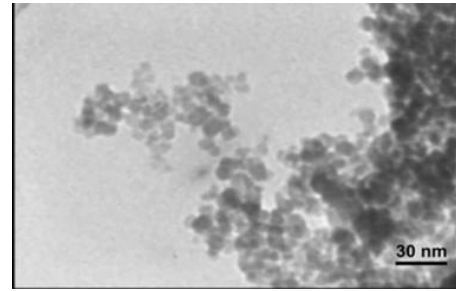
نمودار ۱: تغییر تعداد گلبول‌های سفید ۱۵ روز پس از تزریق



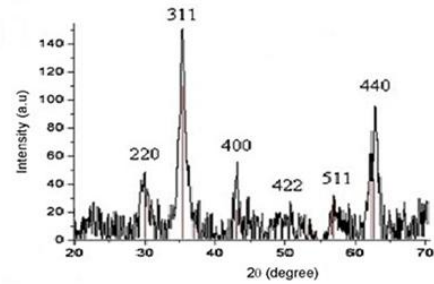
نمودار ۲: تغییر تعداد گلبول‌های سفید ۳۰ روز پس از تزریق



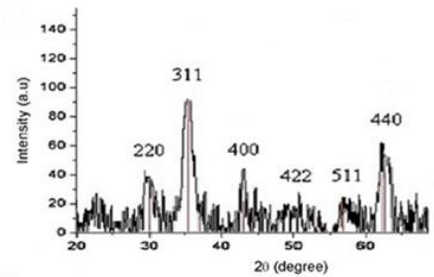
نمودار ۳: تغییر تعداد گلبول‌های قرمز ۱۵ روز پس از تزریق



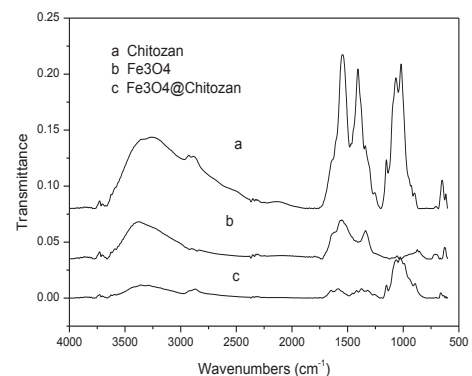
شکل ۱: تصویر میکروسکوپ الکترونی گذاره از نمونه Fe<sub>3</sub>O<sub>4</sub> سنتز شده.



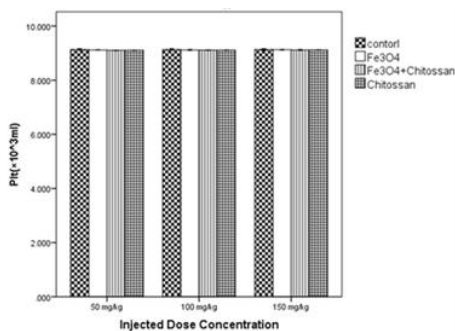
شکل ۲: تصویر پراش پرتو ایکس نمونه Fe<sub>3</sub>O<sub>4</sub>



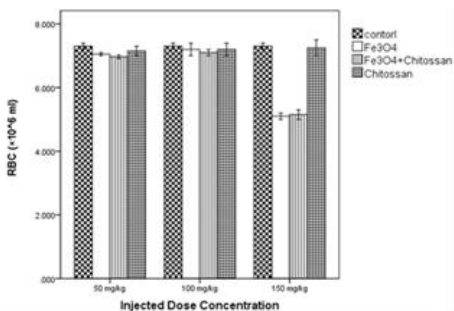
شکل ۳: تصویر پراش پرتو ایکس Fe<sub>3</sub>O<sub>4</sub> پوشش داده شد با کیتوزان



شکل ۴: تصویر FTIR مربوط به نمونه‌ها



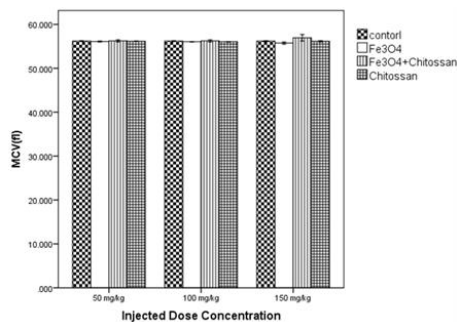
نمودار ۴: تغییر تعداد پلاکت ها ۳۰ روز پس از تزریق



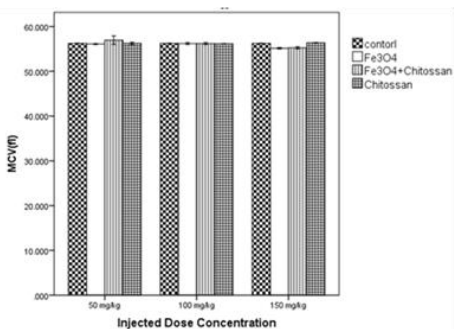
نمودار ۵: تغییر تعداد گلبول های قرمز ۳۰ روز پس از تزریق

## بحث

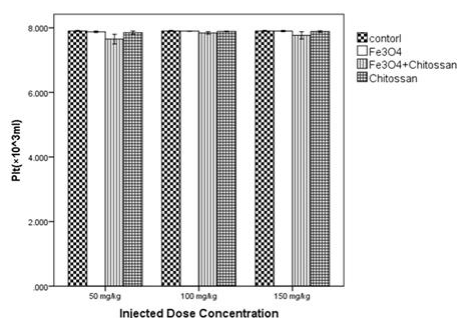
در پژوهش حاضر، سمیت دوزهای مختلف نانو ذره های اکسید آهن با پوشش کیتوزان بر روی فاکتورهای خونی رت های نژاد ویستار مورد مطالعه قرار گرفت. در این پژوهش مشخص شد پس از گذشت ۱۵ و ۳۰ روز از تیمار، نانوذره های اکسید آهن سنتز شده توانسته اند میزان سلول های خون را در بدن رت ها کاهش دهند. در این زمینه، صادقیانی و همکاران نشان دادند که تزریق نانو ذره های اکسید آهن با پوشش پلی آسپارتیک اسید به موش باعث افزایش مونو لیست ها و کاهش لنفوسیت ها می شود، که احتمال دارد پاسخ التهابی بدن به عوامل خارجی علت بروز این پدیده باشد. زیرا تحقیق های مختلف در مورد انواع سلول های خونی طی دوره های مختلف تزریق تغییرهای متفاوت گزارش کرده اند. این در حالی است که تمامی این تغییرها پس از گذشت مدتی از تیمار از بین رفته است و در ظاهر التهاب بروز کرده موقت و بدون زیان بوده است (۱۹). در مطالعه دیگر اثرهای نانو ذره های اکسید آهن با پوشش DMSA<sup>۴</sup> در موش نشان داد که نوع پوشش بر کاهش اثرهای سمی نانو ذره ها اثر دارد. هم چنین نشان دادند گلبول های سفید در غلظت های بالای ۵۰ mg/kg و گلبول های قرمز در غلظت های بالای ۱۰۰ mg/kg کاهش معنادار دارند (۱۵). سانتانا و همکاران نشان دادند که با تزریق نانو ذره های سوپر پارا مغناطیسی با پوشش کربوکسی متیل دکستران به نمونه های خون جانوران مختلف، اکسید شدن هموگلوبین به صورت طبیعی رخ داده و تغییر ساختمانی ایجاد نشده است (۲۲). در پژوهش دیگر، کرنگا و همکاران با تزریق نانو ذره های مغناطیسی با پوشش اسید سیتریک به موش افزایش همولیز گلبول های قرمز را نشان دادند. هم چنین کاهش میزان اکسی هموگلوبین در اثر افزودن نانو ذره های مغناطیسی با پوشش اسید سیتریک گزارش گردید که علت آن به احتمال باند شدن



نمودار ۶: تغییر غلظت حجم متوسط گلبول های قرمز ۱۵ پس از تزریق



نمودار ۷: تغییر غلظت حجم متوسط گلبول های قرمز ۳۰ پس از تزریق



نمودار ۸: تغییر تعداد پلاکت ها ۱۵ روز پس از تزریق



ترکیبها آلی به آنها و در نتیجه عدم جذب و ورود آنها به گردش خون و اندامها نسبت داده‌اند.

## نتیجه‌گیری

در این مطالعه نانو ذره‌های اکسید آهن پوشش داده شده با کیتوزان سنتز شدند. اثرهای پوشش بر خواص مغناطیسی، ساختار و اندازه نانو ذره‌ها مورد بررسی قرار گرفت. نتایج نشان داد با وجود این که پوشش‌دهی نانوذره‌ها اندازه آنها را بزرگ می‌کند اما این افزایش اندازه به حدی نیست که اندازه آنها را از حد اندازه بحرانی (برای اکسید آهن ۳۰ نانومتر) بیش‌تر کند. با توجه به کاربردهای بیولوژیکی و پزشکی این نانو ذره‌ها، سمیت این نانوذره‌ها مورد بررسی قرار گرفت و مشخص شد که نانوذره‌های اکسید آهن سنتز شده توانسته‌اند میزان سلول-های خون را در بدن رت‌ها کاهش دهند که البته به طور احتمال این کاهش تعداد به علت همولیز و یا تغییر در ساختار و تخریب سلول‌ها به علت اتصال با نانو ذره‌ها بوده است؛ این نانو ذره‌های سنتز شده میزان حجم متوسط گلبول‌های قرمز و تعداد پلاکت‌ها را تغییری نداده است. اما با استناد به تحقیق‌های مختلف انجام شده (۴،۱۲،۱۹) می‌توان نتیجه گرفت که این تغییرهای حاصل شده موقتی است و به تدریج از بین می‌رود.

البته پوشش کیتوزان نیز توانسته است تا حدودی به کاهش میزان اثرهای سمی نانو ذره‌ها کمک کند. با این حال لازم است که تحقیق‌های بیش‌تری در این زمینه صورت گیرد. به طور کل می‌توان این گونه بیان کرد که با توجه به نتایج حاصل از این پژوهش کاربرد کوتاه مدت نانو ذره‌های اکسید آهن در دارو رسانی هدفمند و کاربردهای پزشکی و بیولوژیک به طور احتمال سمیت خاصی در بدن ایجاد نمی‌کند.

## سپاسگزاری

بدین‌وسیله از دانشگاه آزاد اسلامی واحد فلاورجان برای استفاده از امکانات آزمایشگاهی و انجام پژوهش حاضر در آن دانشگاه تشکر و قدردانی می‌شود.

گروه هیدروکسید سیترات با یون‌های آهن در ساختار هموگلوبین بوده است (۴). قاسم‌پور و همکاران در سال ۱۳۹۲ به مطالعه اثرهای سمی حاد نانو ذره‌های اکسید آهن با پوشش اوره بر رده سلولی L۹۲۹، پارامترهای بیوشیمیایی و هیستوپاتولوژیک کلیه و کبد در موش صحرایی پرداختند. در این مطالعه میزان زیست‌پذیری سلول‌ها با افزایش دوز کاهش یافت. فاکتورهای بیوشیمیایی خون (۲۴ و ۲۴ ساعت پس از تزریق نانو ذره‌ها افزایش معنی داری نشان ندادند. تفاوت این پژوهش با پژوهش حاضر در این است که به جای پوشش اوره از پوشش کیتوزان استفاده شد و همچنین این اثرها برای دوره یک ماهه بررسی شد؛ که کاهش تعداد گلبول‌ها را در پی داشت (۸). طی تحقیق حاج‌شفیعی و همکاران در سال ۲۰۱۳ که نانو ذره‌های اکسید آهن را به روش هم‌رسوبی سنتز کردند و با DMSA و آلبومین پوشش دار نمودند. آنها دریافتند که وجود پوشش اندازه نانو ذره‌ها را بزرگ‌تر می‌کند اما از حد بحرانی ۳۰ نانومتر بیش‌تر نمی‌شود و نانو ذره‌های تک حوزه باقی می‌مانند و خاصیت سوپر پارامغناطیسی خود را با مغناطش اشباع کم‌تری حفظ می‌کنند. همچنین به این نتیجه رسیدند که تزریق درون صفاقی نانو ذره‌ها با این پوشش‌ها با غلظت کم‌تر از  $\frac{mg}{kg}$  ۲۰۰، بافت، پس از ۳۰ روز هیچ‌گونه تأثیر برگشت‌ناپذیری بر فاکتورهای کبدی ندارد (۱۰). در تحقیق حاضر به روش هم‌رسوبی نانو ذره‌های اکسید آهن سنتز و با کیتوزان پوشش دهی شد و اثرهای آن بر فاکتورهای خون و کلیه بررسی گردید. با توجه به نتایج پژوهش‌های گذشته، چون نانو ذره‌های اکسید آهن بزرگ‌تر از ۵۰ نانومتر به طور عملی خواص سوپر پارامغناطیسی خود را از دست می‌دهند و همچنین این ذره‌های با اندازه ۷-۵ نانومتر بهترین خواص را دارند و در این میزان دوز کم‌ترین اثر سمیت را داشته‌اند؛ پس در پژوهش حاضر به طور احتمال کاهش میزان سلول‌های خونی به دلیل همولیز و یا تغییر ساختار و تخریب سلولی به علت اتصال با نانو ذره‌ها بوده است و سمیت خاصی ایجاد نشده است. طبق تحقیق‌های پیشین، می‌توان به این نتیجه رسید که تغییرهای حاصل در میزان سلول‌های خونی در این پژوهش موقتی است و پس از مدتی از بین می‌رود. به طور کل، مطالعه‌های متعدد علت عدم سمیت نانو ذره‌های اکسید آهن را به حذف سریع مقداری از آنها توسط سیستم رتیکیولاندوتلیال کبد، طحال و گره‌های لنفاوی و سپس دفع نانو ذره‌ها از بدن و همچنین کاهش و از بین رفتن ویژگی‌های اختصاصی سطحی پس از تزریق، به دلیل تجمع و اتصال

1. Au KW Liao SY Lee YK Lai WH Ng KM Chan YC et al. Effects of iron oxidenanoparticles on cardiac differentiation of embryonic stem cells. *Biochem Biophys Res Commun*. Feb; 2009. 379 (4): 898-903.
2. Butler BL Vergano PJ Testin RF Bunn JM & Wiles JL. Mechanical and barrier properties of edible chitosan films as affected by composition and storage. *Journal of Food Science*, 1996. 61: 953-955.
3. Chen D Xi T Bai J. Biological effect induced by nanosilver particles: In Vivo Study. *Biomed Mater*. 2007. 2 (3): 126-28.
4. Creanga DE Culea M Nadejde CS Curecheriu L Racuciu M. Magnetic nanoparticle effects on the red blood cells. *Journal of Physics: Conference Series*. 2009. 170 (1).
5. Doan TKD Tran HH Le HP Bui L Le KV and Phan NT. Preparation and characterization of magnetic nanoparticles with chitosan coating. *Journal of physics: Conference Series* 2009. 187, 012036.
6. Fatahian S, Shahbazi Gahrouei D, Pouladian M, Yousefi MH, Amiri G, Noori A. Biodistribution and toxicity assessment of radiolabeled and DMSA coated ferrite nanoparticles in mice. *J Radioanal Nucl Chem*. 2012. 293 (3): 915-21.
7. Ghandoor HEI Zidan HM Khalil MMH Ismail MIM. Synthesis and some physical properties of magnetic (Fe<sub>3</sub>O<sub>4</sub>) nanoparticles. *Journal of Electrochemical Science*, 2012. 7: 5734-5745.
8. Ghasempour S Shokrgozar MA Ghasempour R Alipour M. 2013. The acute toxicity of urea coated ferrous oxide nanoparticles on L929 cell line, evaluation of biochemical and pathological parameters in rat kidney and liver. *Physiology and Pharmacology*, 17 (4), 423-436.
9. Guo L Liu G Hong RY Li HZ. Preparation and characterization of chitosan poly (acrylic acid) magnetic microspheres. *Marine Drugs*, 8, 2212-2222: doi: 2010.10.3390 / md8072212.
10. Hajshafiei P Fatahian S Shahanipoor K. 2013. In vivo toxicity assessment of bovine serum albumin and dimercaptosuccinic acid coated Fe<sub>3</sub>O<sub>4</sub> nanoparticles. *Iran Biotech*. Doi 10.5812 / igb.16858
11. Hsin YH Chen CF Huang S Shih TS et al. The Apoptotic Effect of Nanosilver Is Mediated by a ROS- and JNK Dependent Mechanism Involving the Mitochondrial Pathway in NIH3T3 Cells. *Toxicol Lett*; 2008. 179 (3): 130-9.
12. Kim JS Yoon TJ Yu KN Kim BG Park SJ Kim HW et al. Toxicity and tissue distribution of magnetic nanoparticles in mice. *Toxicol Sci*: 2006. 89 (1): 338-47.
13. Massia SP Stark J Letbetter DS. Surface-immobilized dextran limits cell adhesion and spreading. *Biomaterials*. 2000 21, 2253-2261.
14. Mohammadi-samani S Miri R Salmanpour M Khalighian N Sotoudeh S and Erfani N. Preparation and assessment of chitosan-coated superparamagnetic Fe<sub>3</sub>O<sub>4</sub> nanoparticles for controlled delivery of methotrexate. 2013. 8 (1): 25-33.
15. Noori A, Amiri Gh.R, Taj B, Nasr Isfahani M, Taj S, Valiani A. The effect of magnetic nanoparticles on mice liver and kidney. *Journal of kerman university of medical sciences*, 2012. 19 (3): 243-252.
16. Park J H Saravanakumar G Kim K Kwon I C. Targeted delivery of low molecular drugs using chitosan and its derivatives. *Advanced Drug Delivery Reviews*, Vol, 2010. 62, pp, 28-41.
17. Pisanic TR Blackwell JD Shubayev VI Finones RP Jin S. Nanotoxicity of iron oxide nanoparticle internalization in growing neurons. *Journal of Biomaterials*, 2007. 28: 2572-2581.
18. Romero EL Morilla MJ. Nanotechnological approaches against Chagas disease. *Adv Drug Deliv Rev* 2010. 62 - 576-588.
19. Sadeghiani N Barbosa LS Silva LP Azevedo RB Morais PC Lacava ZG. Genotoxicity and inflammatory investigation in mice treated with magnetite nanoparticles surface coated with polyaspartic acid. *Journal of Magnetism and Magnetic Materials*; 2005. 289: 466-68.
20. Safee NHA, Pauzi A, Othman MR. Carboxymethyl chitosan-Fe<sub>3</sub>O<sub>4</sub> nanoparticles: synthesis and characterization. *Analytical sciences*, 2010. Vol 14, No 2, : 63-68.

21. Salata O. Applications of nanoparticles in biology and medicine. *J Nanobiotechnology*, 2004.2 (1): 3.
22. Santana JF Soler MA Da Silva SW Lacava ZG Azevedo RB Morais PC. Investigation of the interaction between magnetic nanoparticles surface-coated with carboxy methyl dextran and blood cells using Raman spectroscopy. *Journal of Magnetism and Magnetic Materials*; 2005.289: 452-4.
23. Srinivasa PCRavi R & Tharanathan RN. Effect of storage conditions on the tensile properties of eco-friendly chitosan films by response surface methodology. *Journal of Food Engineering*, 2007.80 (1): 184-189.
24. Te-Hsing W Yi-Der T Lie-Hang S. The novel methods for preparing antibacterial fabric composites containing nanomaterial. *J Solid State Phenomena*: 2007.124: 1241-1244.
25. Wijnhoven S Peijnenburg W Herberts C .. Nano-silver-a review of available data and knowledge gaps in human and environmental risk assessment. 2009. 3 (2): 109-138.